

UWAGA

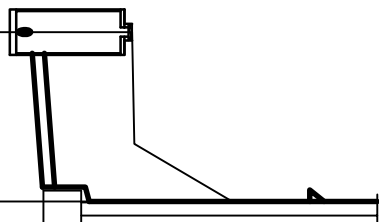
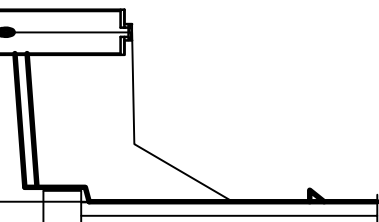
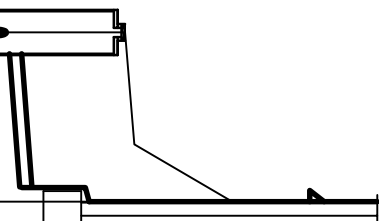
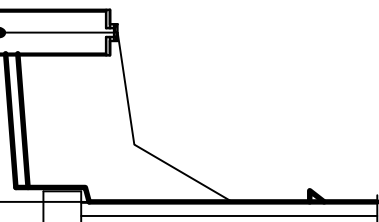
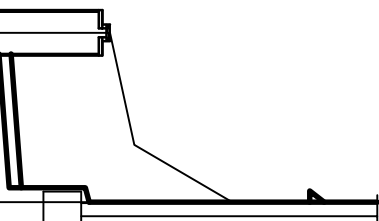
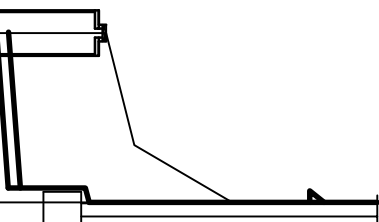
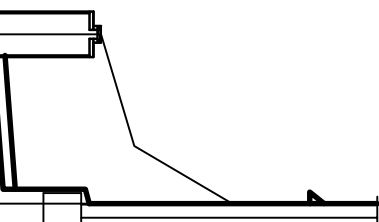
1 Na rysunku pokazano uzbrojenie zainwentaryzowane przez geodetę

2 Przed przystąpieniem do robót należy sprawdzić rzędne uzbrojenia istniejącego

3 W trakcie robót ziemnych należy zwrócić uwagę na uzbrojenie istniejące i wykonywać roboty ziemne ręcznie.

4 Rzędne wierzchu wazów studni obliczono interpolując rzędne

5 Przed wykonaniem wierzchu wazów studni należy nawiązać się do niwelety terenu projektowanego

																																																																																																																																																																																																																																																																																																																																																																																																																																																																																																																																																																																																																																																																																																																																																																																																																																																																																																																																																																																																																																																																																																																																																																																																																																																																																																																																																																																																																																																																																																																																																																																																																																																																																																																																																																																																																																																																																																																																																																																																																																																																																																																																																																																																																																																																																																																																																																																																																																																																																																																																																																																																																																																																																																																																																																																																																																																																																																																																																																																																																																																																																																																																																																																																																																																																																																																																																																																																																																																																																																																																																																																																																																																																																																																																																																																																																																																																																																																																																																																																																																																																																																																																																																																																																																																																																																																																																																																																																																																																																																																																																																																																																																																																																																																																																																																																																																																																																																																																																																																																																																																																																																																																																																																																																																																																																																																																																																																																																																																																																																																																																																																																																																																																																																																																																																																																																																																																																																																																																																																																																																																																																																																																																																																																																																																																																																																																																																																																																																																																																																																																																																																																																																																																																																																																																																																																																																																																																																																																																																																																																																																																																																																																																																																																																																																																																																																																																																																																																																																																																																																																																																																																																																																																			
p.p. 240,00 m.n.p.m.																																																																																																																																																																																																																																																																																																																																																																																																																																																																																																																																																																																																																																																																																																																																																																																																																																																																																																																																																																																																																																																																																																																																																																																																																																																																																																																																																																																																																																																																																																																																																																																																																																																																																																																																																																																																																																																																																																																																																																																																																																																																																																																																																																																																																																																																																																																																																																																																																																																																																																																																																																																																																																																																																																																																																																																																																																																																																																																																																																																																																																																																																																																																																																																																																																																																																																																																																																																																																																																																																																																																																																																																																																																																																																																																																																																																																																																																																																																																																																																																																																																																																																																																																																																																																																																																																																																																																																																																																																																																																																																																																																																																																																																																																																																																																																																																																																																																																																																																																																																																																																																																																																																																																																																																																																																																																																																																																																																																																																																																																																																																																																																																																																																																																																																																																																																																																																																																																																																																																																																																																																																																																																																																																																																																																																																																																																																																																																																																																																																																																																																																																																																																																																																																																																																																																																																																																																																																																																																																																																																																																																																																																																																																																																																																																																																																																																																																																																																																																																																																																																																																																																																																																																																																			
Rzędna terenu														253,54																												254,89														253,55																												254,89														253,45																												254,89														253,35																												254,89														253,25																												254,89														253,20																												254,89														253,10														254,89																																																																																																																																																																																																																																																																																																																																																																																																																																																																																																																																																																																																																																																																																																																																																																																																																																																																																																																																																																																																																																																																																																																																																																																																																																																																																																																																																																																																																																																																																																																																																																																																																																																																																																																																																																																																																																																																																																																																																																																																																																																																																																																																																																																																																																																																																																																																																																																																																																																																																																																																																																																																																																																																																																																																																																																																																																																																																																																																																																																																																																																																																																																																																																																																																																																																																																																																																																																																																																																																																																																																																																																																																																																																																																																																																																																																																																																																																																																																																																																																																																																																																																																																																																																																																																																																																																																																																																																																																																																																																																																																																																																																																																																																																																																																																																																																																																																																																																																																																																																																																																																																																																																																																																																																																																																																																																																																																																																																																																																																																																																																																																																																																																																																																																																																																																																																																																																																																																																																																																																																																																																																																																																																																																																																																																																																																																																																																																																																																																																																																																																																																																																																																																																																																																																																																																																																																																																																																																																																																																																																																																																																																																																																																																																																																																																																																																																																																																											
Rzędna dna kanału														252,04														252,20														252,37														251,77														252,00														252,17														251,68														251,90														252,07														251,59														251,85														252,02														251,51														251,76														251,93														251,43														251,75														251,92														251,36														251,68														251,85																																																																																																																																																																																																																																																																																																																																																																																																																																																																																																																																																																																																																																																																																																																																																																																																																																																																																																																																																																																																																																																																																																																																																																																																																																																																																																																																																																																																																																																																																																																																																																																																																																																																																																																																																																																																																																																																																																																																																																																																																																																																																																																																																																																																																																																																																																																																																																																																																																																																																																																																																																																																																																																																																																																																																																																																																																																																																																																																																																																																																																																																																																																																																																																																																																																																																																																																																																																																																																																																																																																																																																																																																																																																																																																																																																																																																																																																																																																																																																																																																																																																																																																																																																																																																																																																																																																																																																																																																																																																																																																																																																																																																																																																																																																																																																																																																																																																																																																																																																																																																																																																																																																																																																																																																																																																																																																																																																																																																																																																																																																																																																																																																																																																																																																																																																																																																																																																																																																																																																																																																																																																																																																																																																																																																																																																																																																																																																																																																																																																																																																																																																																																																																																																																																																																																																																																																																																																																																																																																																																																																																																																																																																																																																																																																																																																																																																																																													
Zagłębienie														1,50														1,34														2,52														1,78														1,55														2,52														1,77														1,55														2,82														1,76														1,50														2,87														1,74														1,49														2,96														1,77														1,45														2,97														1,74														1,42														3,04																																																																																																																																																																																																																																																																																																																																																																																																																																																																																																																																																																																																																																																																																																																																																																																																																																																																																																																																																																																																																																																																																																																																																																																																																																																																																																																																																																																																																																																																																																																																																																																																																																																																																																																																																																																																																																																																																																																																																																																																																																																																																																																																																																																																																																																																																																																																																																																																																																																																																																																																																																																																																																																																																																																																																																																																																																																																																																																																																																																																																																																																																																																																																																																																																																																																																																																																																																																																																																																																																																																																																																																																																																																																																																																																																																																																																																																																																																																																																																																																																																																																																																																																																																																																																																																																																																																																																																																																																																																																																																																																																																																																																																																																																																																																																																																																																																																																																																																																																																																																																																																																																																																																																																																																																																																																																																																																																																																																																																																																																																																																																																																																																																																																																																																																																																																																																																																																																																																																																																																																																																																																																																																																																																																																																																																																																																																																																																																																																																																																																																																																																																																																																																																																																																																																																																																																																																																																																																																																																																																																																																																																																																																																																																																																																																																																																																																																																													
Średnice														Ø160														i=3,0%														Ø160														i=3,0%														Ø160														i=3,0%														Ø160														i=3,0%														Ø160														i=3,0%														Ø160														i=3,0%														Ø160														i=3,0%														Ø160														i=3,0%														Ø160														i=3,0%														Ø160														i=3,0%														Ø160														i=3,0%														Ø160														i=3,0%														Ø160														i=3,0%														Ø160														i=3,0%														Ø160														i=3,0%														Ø160														i=3,0%														Ø160														i=3,0%														Ø160														i=3,0%														Ø160														i=3,0%														Ø160														i=3,0%														Ø160														i=3,0%														Ø160														i=3,0%														Ø160														i=3,0%														Ø160														i=3,0%														Ø160														i=3,0%														Ø160														i=3,0%														Ø160														i=3,0%														Ø160														i=3,0%														Ø160														i=3,0%														Ø160														i=3,0%														Ø160														i=3,0%														Ø160														i=3,0%														Ø160														i=3,0%														Ø160														i=3,0%														Ø160														i=3,0%														Ø160														i=3,0%														Ø160														i=3,0%														Ø160														i=3,0%														Ø160														i=3,0%														Ø160														i=3,0%														Ø160														i=3,0%														Ø160														i=3,0%														Ø160														i=3,0%														Ø160														i=3,0%														Ø160														i=3,0%														Ø160														i=3,0%														Ø160														i=3,0%														Ø160														i=3,0%														Ø160														i=3,0%														Ø160														i=3,0%														Ø160														i=3,0%														Ø160														i=3,0%														Ø160														i=3,0%														Ø160														i=3,0%														Ø160														i=3,0%														Ø160														i=3,0%														Ø160														i=3,0%														Ø160														i=3,0%														Ø160														i=3,0%														Ø160														i=3,0%														Ø160														i=3,0%														Ø160														i=3,0%														Ø160														i=3,0%														Ø160														i=3,0%														Ø160														i=3,0%														Ø160														i=3,0%														Ø160														i=3,0%														Ø160														i=3,0%														Ø160														i=3,0%														Ø160														i=3,0%														Ø160														i=3,0%														Ø160														i=3,0%														Ø160														i=3,0%														Ø160														i=3,0%														Ø160														i=3,0%														Ø160														i=3,0%														Ø160														i=3,0%														Ø160														i=3,0%														Ø160														i=3,0%														Ø160														i=3,0%														Ø160														i=3,0%														Ø160														i=3,0%														Ø160														i=3,0%														Ø160														i=3,0%														Ø160														i=3,0%														Ø160														i=3,0%														Ø160														i=3,0%														Ø160														i=3,0%														Ø160														i=3,0%														Ø160														i=3,0%														Ø160														i=3,0%														Ø160														i=3,0%														Ø160														i=3,0%														Ø160														i=3,0%														Ø160														i=3,0%														Ø160														i=3,0%														Ø160														i=3,0%														Ø160														i=3,0%														Ø160														i=3,0%														Ø160														i=3,0%														Ø160														i=3,0%														Ø160														i=3,0%														Ø160														i=3,0%														Ø160														i=3,0%														Ø160														i=3,0%														Ø160														i=3,0%														Ø160														i=3,0%														Ø160														i=3,0%														Ø160														i=3,0%														Ø160														i=3,0%														Ø160														i=3,0%														Ø160														i=3,0%														Ø160														i=3,0%														Ø160														i=3,0%														Ø160														i=3,0%														Ø160														i=3,0%														Ø160														i=3,0%														Ø160														i=3,0%														Ø160														i=3,0%														Ø160														i=3,0%														Ø160														i=3,0%														Ø160														i=3,0%														Ø160														i=3,0%														Ø160														i=3,0%														Ø160														i=3,0%														Ø160														i=3,0%														Ø160														i=3,0%														Ø160														i=3,0%														Ø160														i=3,0%														Ø160														i=3,0%														Ø160														i=3,0%														Ø160														i=3,0%														Ø160														i=3,0%														Ø160														i=3,0%														Ø160														i=3,0%														Ø160														i=3,0%														Ø160														i=3,0%														Ø160														i=3,0%														Ø160														i=3,0%														Ø160														i=3,0%														Ø160														i=3,0%														Ø160														i=3,0%														Ø160														i=3,0%														Ø160														i=3,0%														Ø160														i=3,0%														Ø160														i=3,0%														Ø160														i=3,0%														Ø160														i=3,0%														Ø160														i=3,0%														Ø160														i=3,0%														Ø160														i=3,0%														Ø160														i=3,0%														Ø160														i=3,0%														Ø160														i=3,0%														Ø160														i=3,0%														Ø160														i=3,0%														Ø160														i=3,0%														Ø160														i=3,0%														Ø160														i=3,0%														Ø160														i=3,0%														Ø160														i=3,0%														Ø160														i=3,0%														Ø160														i=3,0%														Ø160														i=3,0%														Ø160														i=3,0%														Ø160														i=3,0%														Ø160														i=3,0%														Ø160														i=3,0%														Ø160														i=3,0%														Ø160														i=3,0%														Ø160														i=3,0%														Ø160														i=3,0%														Ø160														i=3,0%														Ø160														i=3,0%														Ø160														i=3,0%														Ø160														i=3,0%														Ø160														i=3,0%														Ø160														i=3,0%														Ø160														i=3,0%														Ø160														i=3,0%														Ø160														i=3,0%														Ø160														i=3,0%														Ø160														i=3,0%														Ø160														i=3,0%														Ø160														i=3,0%														Ø160														i=3,0%														Ø160														i=3,0%														Ø160														i=3,0%														Ø160														i=3,0%														Ø160														i=3,0%														Ø160														i=3,0%														Ø160														i=3,0%														Ø160														i=3,0%														Ø160														i=3,0%														Ø160														i=3,0%														Ø160														i=3,0%														Ø160														i=3,0%														Ø160														i=3,0%														Ø160														i=3,0%														Ø160														i=3,0%														Ø160														i=3,0%														Ø160														i=3,0%														Ø160														i=3,0%														Ø160														i=3,0%														Ø160														i=3,0%														Ø160														i=3,0%														Ø160														i=3,0%														Ø160														i=3,0%														Ø160														i=3,0%														Ø160														i=3,0%														Ø160														i=3,0%														Ø160														i=3,0%														Ø160														i=3,0%														Ø160														i=3,0%														Ø160														i=3,0%														Ø160														i=3,0%														Ø160														i=3,0%														Ø160														i=3,0%														Ø160														i=3,0%														Ø160														i=3,0%														Ø160														i=3,0%														Ø160														i=3,0%														Ø160														i=3,0%														Ø160														i=3,0%														Ø160														i=3,0%														Ø160														i=3,0%														Ø160														i=3,0%														Ø160														i=3,0%														Ø160														i=3,0%														Ø160														i=3,0%														Ø160														i=3,0%														Ø160														i=3,0%														Ø160														i=3,0%														Ø160														i=3,0%														Ø160														i=3,0%														Ø160														i=3,0%														Ø160														i=3,0%														Ø160														i=3,0%														Ø160														i=3,0%														Ø160														i=3,0%														Ø160														i=3,0%														Ø160														i=3,0%														Ø160														i=3,0%														Ø160														i=3,0%														Ø160														i=3,0%														Ø160														i=3,0%														Ø160														i=3,0%														Ø160														i=3,0%														Ø160														i=3,0%														Ø160														i=3,0%														Ø160														i=3,0%														Ø160														i=3,0%														Ø160														i=3,0%														Ø160														i=3,0%														Ø160														i=3,0%														Ø160														i=3,0%														Ø160														i=3,0%														Ø160														i=3,0%														Ø160														i=3,0%														Ø160														i=3,0%														Ø160														i=3,0%														Ø160														i=3,0%														Ø160													

INWESTOR		URZĄD MIASTA I GMINY W KONSKICH	
		UL. PARTYZANTÓW 1	
		26-200 KONSKE	
BIURO PROJEKTÓW			
NEOINVEST Sp. z o.o. Al. Solidarności 34, 25-323 Kielce tel. (041) 34 17 900, fax (041) 34 17 910			
OBIEKT / ADRES		<div>NEOINVEST</div>	
PROJEKT:  INSTALACJE SANITARNE ZEWNĘTRZNE		SKALA	1:100/250
		STADIUM	Wykonawczy
		BRANŻA	SANITARNA
TYTUŁ RYSUNKU:  PROFIL KANALIZACJA DESZCZOWA CZYSTA D85 - RS1, D91 - RS7		DATA	2010-09
		NR RYS.:	PM/IS/05
		IMIĘ I NAZWISKO	Podpis
		Specjalność i nr uprawnień	
GŁÓWNY PROJEKTANT	mgr inż. arch. JÓZEF ŚLIWIŃSKI	KL 423/94 spec.arch.	
PROJEKTANT	mgr inż. ANNA ROWIŃSKA	SWK/0128/POOS/06 spec.sanit.	
OPRACOWAŁ	mgr inż. WOLCIECH SULARZ		
SPRAWDZIŁ	mgr inż. ADAM DZIEWIECKI	SWK/0166/POOS/09 spec.sanit.	
Prawa autorskie zastrzeżone. Ustawa z dn. 4.02.1994 r.			